

9. Das Higgs-Teilchen und seine Rolle bei den Teilchenmassen

- Elektroschwache Theorie mit massiven Teilchen
 - Eichinvarianz?
 - Renormierbarkeit?
- Higgs-Mechanismus & Spontane Symmetriebrechung
- Higgs in der Frühphase des Universums
- Suche nach dem Higgs-Teilchen
 - Massengrenzen aus theoretischen Überlegungen
 - indirekte Grenzen aus Präzisionsmessungen
 - direkte Suche nach dem Higgs-Teilchen
 - Massengrenzen

Elektroschwache Theorie mit massiven Teilchen

- Erinnerung an das Eichprinzip:

Wenn man die Phase der Wellenfunktion eines Teilchens lokal (ortsabhängig) beliebig ändert, so muß man notgedrungen die Existenz eines äußeren Feldes fordern, damit das Teilchen (bzw. seine Wellenfunktion) weiterhin die Schrödinger-Gleichung (bzw. Klein-Gordon-Gl. für Spin 0, Dirac-Gl. für Spin $\frac{1}{2}$, Proca-Gl. für Spin 1) erfüllt.

- Aus der Eichinvarianz unter $U(1)_Y \times SU(2)_L$ (Hyperladung, schwacher Isospin für linkshändige Teilchen L) war die Existenz von den Bosonen B^+ , w_1 , w_2 , w_3 gefordert worden, die sich als

$$w^\pm = \frac{1}{\sqrt{2}} (w_1 \mp i w_2)$$

$$\gamma = -B \cdot \sin \theta_w + w_3 \cdot \cos \theta_w$$

$$\beta = B \cdot \cos \theta_w + w_3 \cdot \sin \theta_w$$

-Teilchen manifestieren. Aber zunächst sind alle diese Teilchen masselos, die phys. Teilchen aber massiv.

Probleme mit massiven Eichbosonen

• Verlust der Eichinvarianz

(hier nur am Beispiel der $U(1)$ -Eichinvarianz, $U(1) \times SU(2)$ ist im Prinzip analog zu behandeln, jedoch mit komplizierteren Formeln)

Aus der E-Dynamik sind das 4-Vektorpotential

$A^\mu = (\phi, \vec{A})$ und der elektromagn. Feldtensor

$$F^{\mu\nu} = \partial^\mu A^\nu - \partial^\nu A^\mu$$

$$= \begin{pmatrix} 0 & -E_x & -E_y & -E_z \\ E_x & 0 & -B_z & B_y \\ E_y & B_z & 0 & -B_x \\ E_z & -B_y & B_x & 0 \end{pmatrix} \quad \begin{aligned} \vec{E} &= \begin{pmatrix} E_x \\ E_y \\ E_z \end{pmatrix} \text{ d. Feld} \\ \vec{B} &= \begin{pmatrix} B_x \\ B_y \\ B_z \end{pmatrix} \text{ magn. Feld} \end{aligned}$$

bekannt, mit denen sich die Maxwell-Gleichungen
einfach als:

$$\partial_\mu F^{\mu\nu} = 0$$

$$\Rightarrow \boxed{\partial_\mu \partial^\mu A^\nu = 0}$$

schreiben lassen, wobei

$$\partial_\mu \partial^\mu = \frac{1}{c^2} \frac{\partial^2}{\partial t^2} - \vec{\nabla}^2 \quad (= \square^2) \text{ bezeichnet.}$$

Lösungen dieser Wellengleichung beschreiben die Ausbreitung eines masselosen Teilchens: Photon

Verlust der Eichinvarianz

Von die Masse eines Teilchens zu berücksichtigen, muß $\square^2 A^\nu = 0$ um einen Masseterm ergänzt werden → Proca-Gleichung

$$\textcircled{*} \quad \left(\square^2 + \left(\frac{mc}{\hbar} \right)^2 \right) W^\mu = 0$$

Diese Gleichung beschreibt massive Teilchen mit Spin 1. Unter einer $U(1)$ -Eichtransformation

$$W^\mu \rightarrow W^\mu + \partial^\mu \chi$$

folgt:

$$\left(\square^2 + \left(\frac{mc}{\hbar} \right)^2 \right) (W^\mu + \partial^\mu \chi) = \left(\frac{mc}{\hbar} \right)^2 \partial^\mu \chi \neq 0 !$$

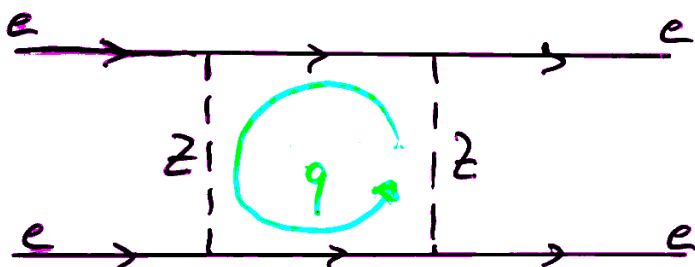
Dies ist i.a. nicht Null und somit ist die Proca-Gleichung $\textcircled{*}$ nicht mehr invariant unter $U(1)$ -Eichtransformationen. (Dies kann analog auch für $U(1) \times SU(2)$ -Eichtransformationen gezeigt werden.) Konsequenz:

Massenterme wie $\left(\frac{mc}{\hbar} \right)^2$ zerstören die Eichinvarianz!

→ W -, Z -Bosonmassen können nicht durch solche Terme beschrieben werden, ohne die $U(1) \times SU(2)$ -Symmetrie zu zerstören

Verlust der Renormierbarkeit

- zur Erinnerung an die Renormierung:
In der Behandlung der Vakuumpolarisation ergeben sich divergierende Terme für einfache physikalische Prozesse. Renormierung ist ein Verfahren, das diese Divergenzen durch Modifikation ("neue" Normierung) der (elekttr., starken, schwachen...) Ladung und der Masse der Teilchen beseitigt. Nur aus renormierbaren Theorien sind physikal. sinnvolle Vorhersagen möglich.
- Problem mit massiven Eichteilchen:



$$4\text{-Impuls } q = \begin{pmatrix} E/c \\ \vec{q} \end{pmatrix}$$

in der Schleife

In der Schleife sind alle Impulse $|q|=0 \dots \infty$ möglich. Die Berechnung liefert divergente Ausdrücke für die Wahrscheinlichkeit solcher Schleifen. Im Gegensatz zur Vakuumpolarisation können diese Divergenzen nicht durch Reinterpretation von Ladungen & Massen beseitigt werden. Eine solche nicht-renormierbare Theorie ist bedeutungslos!

Higgs-Mechanismus & spontane Symmetriebrechung

- Die Massen von W^\pm - und Z-Bosonen zerstören die angenommene $U(1) \times SU(2)$ -Symmetrie (Eichinvarianz). Darüber hinaus sind auch Massenterme der Fermionen nicht $U(1) \times SU(2)$ -invariant.
- ⇒ Im elektroschwachen Standard-Modell wird daher angenommen, daß die Eichsymmetrie spontan gebrochen ist. Der dafür verantwortliche Mechanismus muß anfordern:
 - Fermion-Massen und
 - Boson-Massen erzeugen sowie zu einer renomierbaren Theorie führen.
- Dies leistet der Higgs-(Kibble)-Mechanismus!

Von S. Weinberg und A. Salam 1967 in die Teilchenphysik eingeführt

Konzept des Higgs-Mechanismus:

- Grundlegende Idee:
Schwache Wechselwirkung "an sich" hat unendliche Reichweite (\cong masselosen Austauschbosonen), wird aber durch ein Hintergrundfeld (Higgs-Feld) abgeschirmt
- Analogie: Meißner-Ochsenfeld-Effekt bei Typ I-Supraleitern

Beim erneutem Abkühlen unter die Sprungtemperatur wird der Fluß aus der Probe herausgetrieben. (W. Meissner und R. Ochsenfeld, 1933).

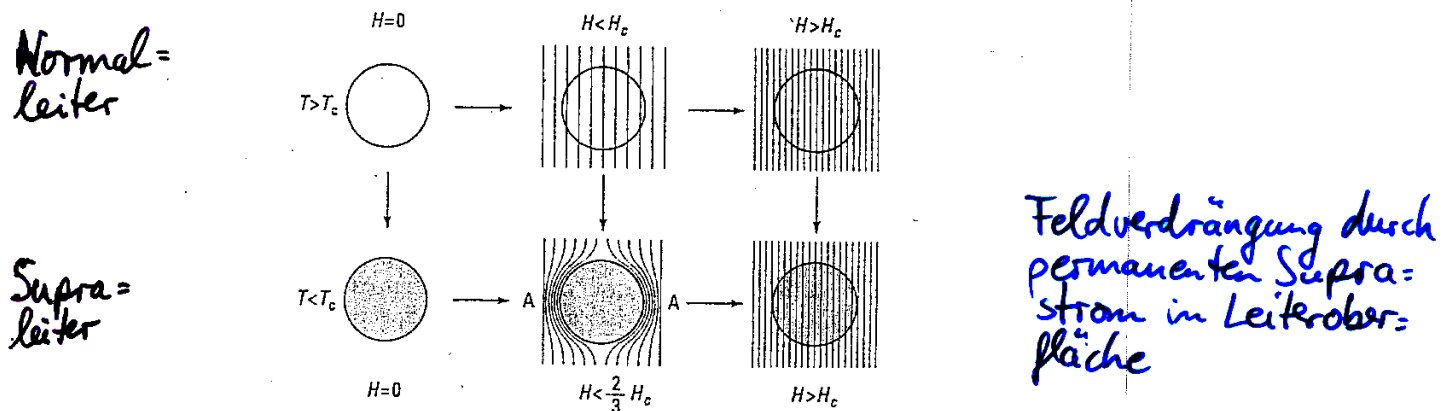


Abb. 8.20 Meißner-Ochsenfeld-Effekt: oben – normal leitende Probe, unten – supraleitende Probe; links – kein Feld, Mitte – unterkritisches Feld, rechts – überkritisches Feld.

- Elektron, Neutrinos, ... von Abschirmströmen umgeben, die von Higgs-Teilchen hervorgerufen werden und die schwachen Kraftfelder (exponentiell) abschirren
- W^\pm, Z -Boson-Massen \cong scheinbare oder effektive Massen (in etwa wie die negative effektive Masse eines Heliumluftballons, wenn die Existenz der ihn umgebenden Luft ignoriert würde)

Spontane Symmetriebrechung

Zwei Arten von Symmetriebrechung

(1) explizite Symmetriebrechung

durch "externe" Störungen

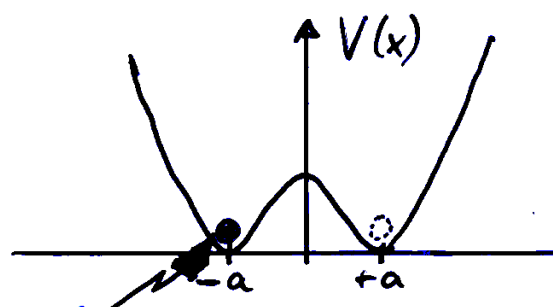
(z.B. Zeemann-Effekt: Aufspaltung energetisch entarteter Niveaus im Atom durch ein externes Magnetfeld \vec{B})

(2) (spontane) Symmetriebrechung:

Die Grundgesetze (Lagrangefkt., Feldgleichungen) sind symmetrisch, aber die speziellen betrachteten Lösungen sind nicht symmetrisch

z.B. • Ferromagnetismus: Orehinvarianz der Spin-Spin-Wechselwirkung führt für niedrige Temperaturen im Ferromagnetika zur Bildung magnetischer (Weißscher) Bezirke mit einheitlicher Ausrichtung der Elementardipole

• "Double Well"-Potential: Spiegelsymmetrie:



$V(x) = V(-x)$

Zustand niedrigster Energie

$x = a$ oder $x = -a$

ist unsymmetrisch

Ein Teilchen "wählt" einen der beiden Zustände aus:

↳ spontane Symmetriebrechung

Spontane Symmetriebrüchung im Standard Modell

Es wird ein neues Feld eingeführt, das

- invariant unter $U(1) \times SU(2)$ an Leptonen, Quarks und die Eichfelder B, W_1, W_2, W_3 gekoppelt ist,
- im energetisch tiefsten Zustand von Null verschieden ist und den Gesamtkosmos zu allen Zeiten mit einem Vakuumfeld $v = \text{const} \neq 0$ ausfüllt
- die $U(1) \times SU(2)$ -Invarianz spontan bricht (nur spinlos [\rightarrow Skalarfeld] und nicht-trivial unter $U(1) \times SU(2)$ sein)

Einfachste Wahl:

Doublett von skalaren Feldern:

$$H(x) = \begin{pmatrix} H^+(x) \\ H^0(x) \end{pmatrix} \quad \text{Higgs-Feld}$$

mit Hyperladung $Y = +1$, einen "Double-Well-" bzw "Mexican-Hat - Potential"

$$V(H) = 2 \cdot \left[H^*(x) \cdot H(x) - \frac{1}{2} v^2 \right]^2$$

und mit dem Wert

$$H_{\text{vac}} = \frac{1}{\sqrt{2}} \begin{pmatrix} 0 \\ v \end{pmatrix}$$

im Vakuum.

Wahl der unten Komponente ist spontane Symmetriebrüchung!

Erzeugung der Fermionmassen

Eigentlich nur Leptonen. Quarks sind schwieriger, weil die Quark-Mischung relevant wird und auch CP-Vorlesung: Flavour \leftrightarrow Masseneigenzustände

- Das Higgs-Feld $H(x) = \begin{pmatrix} H^+ \\ H^0 \end{pmatrix}$ koppelt an die Links- und rechtshändigen Fermionen:

$$\text{z.B. } L = \begin{pmatrix} \nu_L \\ e_L \end{pmatrix} \quad R = (e_R)$$

in einfachster Weise durch: $H = \begin{pmatrix} H^+ \\ H^0 \end{pmatrix}; H^+ = (H^-, H^{0*})$

$$f_e (L \cdot HR + \bar{R} \cdot H^+ L)$$

$$f_e [(\bar{\nu}_L, \bar{e}_L) \begin{pmatrix} H^+ \\ H^0 \end{pmatrix} e_R + \text{konj. komplex}]$$

$$f_e [\bar{\nu}_L e_R H^+ + \bar{e}_L e_R H^0 + \bar{e}_R \nu_L H^- + \bar{e}_R e_L (H^0)^*]$$

- Im Vakuumzustand des Higgs-Feldes $H_{\text{vac}} = \frac{v}{\sqrt{2}}(0)$ sind $H^+ = 0$ und $H^0 = v$ folgt

$$\dots = f_e v (\bar{e}_L e_R + \bar{e}_R e_L) = \boxed{f_e v} \cdot \bar{e}e$$

\downarrow
Masse des Elektrons!

\Rightarrow Leptonen und Quarks erhalten Masse dadurch, daß sie im Vakuum-Higgs-Feld eine "potentielle Energie" haben.

- f_e ist ein Parameter (Yukawa-Kopplung), der die Theorie nicht festlegen kann.

Massen der Eichbosonen

- Die Eichboson-Massen sind durch die Kopplungskonstanten

$$g_W = \frac{e}{\sin \theta_W}$$

$$g_Z = \frac{e}{\sin \theta_W \cdot \cos \theta_W}$$

gegeben:

$$m_W = g_W \cdot \frac{v}{2}$$

$$/ \quad m_Z = g_Z \cdot \frac{v}{2}$$

und insbesondere

$$m_Y = 0$$

- Mit der Fermi-Relation $G_F = \frac{\sqrt{2}}{8} \left(\frac{g_W}{m_W} \right)^2$

folgt für den Vakuum-Erwartungswert des Higgs-Feldes:

$$v = \frac{1}{\sqrt{\sqrt{2} G_F}} \approx 246 \text{ GeV}$$

- Massen des Higgs-Teilchen:

$$m_H = v \cdot \sqrt{2 \lambda}$$

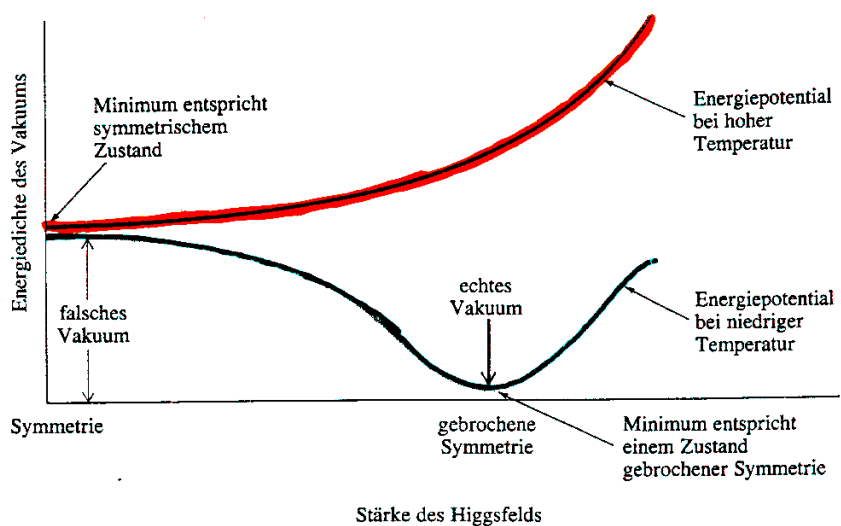
wobei die Kopplungskonst. λ des Higgs-Feldes unbekannt ist

Higgs-Feld in der Frühphase des Universums

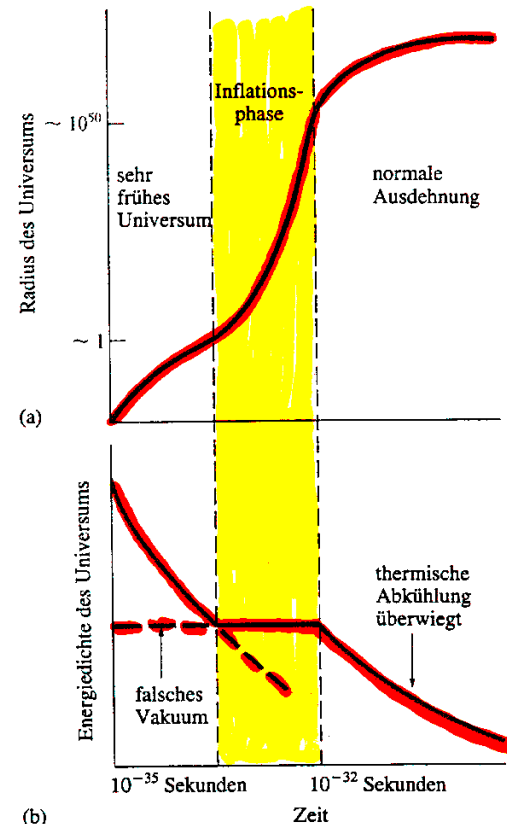
- Probleme, die folgenden Beobachtungen ohne Forderung spezieller und willkürlicher Bedingungen zu erklären
 - ▶ großräumige Homogenität der SK-Hintergrundstrahlung
 - ▶ inhomogene Materieverteilung in Form von Sternen, Galaxien, Galaxienhaufen
 - ▶ Alter des Universums erfordert ein Verhältnis Ω von Dichte zu kritischer Dichte von $\Omega = 1 \pm 10^{-60}$
 - ▶ Rotation des Universums liegt nicht vor
 - ▶ magnetische Monopole, aus Theorien zur Erklärung der Materie-Antimaterie-Asymmetrie, nicht beobachtet
- Lösung: kosmische Inflation
Vakuumgetriebene Expansion zwischen 10^{-35} und 10^{-32} s nach Urknall blähte das Universum um einen Faktor 10^{50} auf!
- Antriebsquelle: Übergang vom "falschen" Vakuum in das "echte" Vakuum der spontan gebrochenen Symmetrie.

6. DIE VEREINIGUNG VON MIKRO- UND MAKROKOSMOS

6.8 Die Vakuumenergie ist eine Art potentielle Energie des Universums. Wie alle Systeme strebt das Universum einen Zustand minimaler potentieller Energie an. Bei hohen Temperaturen stellt sich unter Vereinheitlichung der Naturkräfte eine perfekte Symmetrie ein (rote Kurve für die Energiedichte). In diesem symmetrischen Zustand hat das Universum eine positive Energiedichte. Bei niedrigeren Energien wird das Energiedminimum erreicht, wenn die Symmetrie gebrochen ist. Die Energiedichte des Minimums fällt auf Null ab – ein Hinweis auf ein Vakuum, dessen Energiedichte Null ist. (Dies ist in unserem heutigen Universum der Fall.) Die Inflation wird vom quantenmechanischen Vakuum mit seiner positiven Energiedichte in Gang gehalten.



6.9 Während der inflationären Periode wächst der Abstand aller Objekte im Weltraum viel schneller als vorher oder nachher (a). Die Dichte des Universums sinkt beständig (b). Nur in der inflationären Phase werden seine Eigenschaften vom quantenmechanischen Vakuum bestimmt. Die Inflation des Universums wird dadurch verursacht, daß die Dichte konstant bleibt, also bei der Ausdehnung des Raums nicht kleiner wird.



Wieviele Higgs-Teilchen?

Bisher nur Vakuumerwartungswert betrachtet $v = \text{const} \neq 0$

- Welche physikalischen Teilchen sind mit

$$H(x) = \begin{pmatrix} H^+(x) \\ H^0(x) \end{pmatrix}$$

verbunden? Da H^+ und H^0 komplexwertig sind, sind insgesamt vier Freiheitsgrade vorhanden, die als Teilchen interpretiert werden können:

$$\begin{array}{lll} H^+ & , H^- = (H^+)^* & \text{elekt. Ladung } \pm 1e \\ H^0 & , \bar{H^0} = (H^0)^* & \text{neutral} \end{array}$$

- Tatsächlich beobachtbar nur ein neutrales Higgs-Teilchen, denn:

- $v=0 \Rightarrow W_1, W_2, W_3, B$ masselos
 \Rightarrow nur 2 Spineinstellungen: Helizität ± 1
- nach der spontanen Symmetriebrechung:
 $v \neq 0 \Rightarrow W^\pm, Z$ massiv
 \Rightarrow 3 Spineinstellungen : Helizität $\pm 1, 0$
 \Rightarrow 3 Felder mit Helizität 0 und elekt. Ladung $+1, -1, 0$ werden benötigt. Diese werden von $H^+(x), H^-(x), \text{Im}(H^0(x))$ geliefert!
- "3 of the Higgs fields are eaten up by the Vector particles!"

Theoretische Massengrenzen fürs Higgs-Boson

Higgs-Masse: $m_H = v \cdot \sqrt{2\lambda}$

wobei die Kopplung λ ein freier Parameter ist

- Obere Grenze für m_H aus Laufen der Kopplung λ

betrachte: $\frac{H}{H} = \frac{H}{H} + \frac{H}{H} + \frac{H}{H} + \dots = \frac{1}{1 - \frac{1}{1 + \frac{1}{1 + \dots}}}$

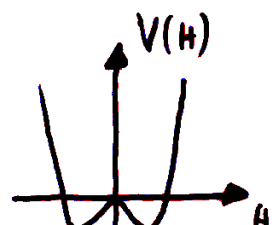
$$\Rightarrow \lambda(\mu^2) = \frac{\lambda(v^2)}{1 - \frac{3}{4\pi^2} \lambda(v^2) \ln(\frac{2\mu^2}{v^2})}$$

Hat Landau-Pol für $\mu \equiv 1 = \frac{v}{\sqrt{2}} \exp\left(\frac{4\pi^2}{3\lambda}\right)$
(Analog zum Landau-Pol der QED & QCD)

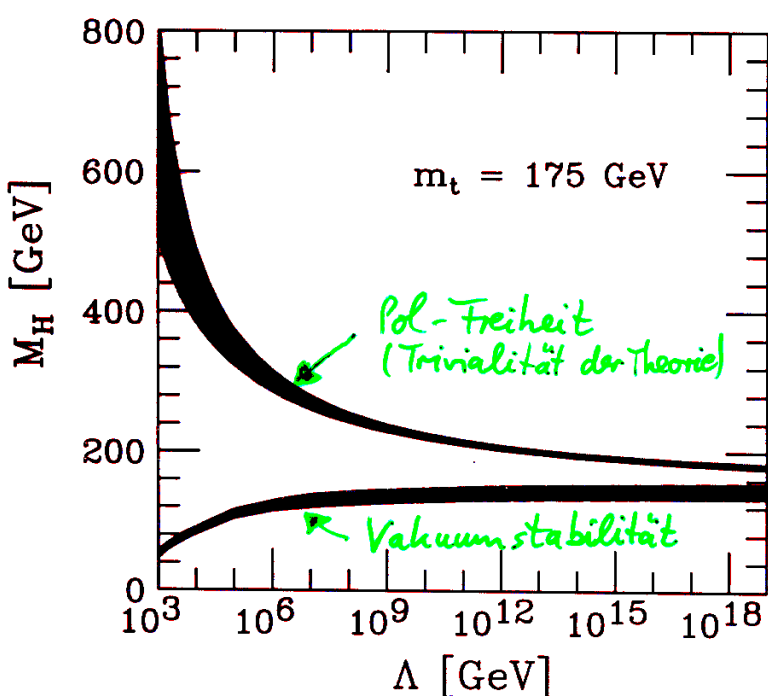
$$\Rightarrow m_H < 1$$

- Untere Grenze aus Vakuumstabilität

d.h. es gibt kein Minimum im Higgs-Potential, das niedriger liegt als das elektroschwache Minimum



⇒



⇒ für $m_H \approx 160-180 \text{ GeV}$
könnte SM bis zur
Skala der Gravitation
 $\Lambda_{\text{Planck}} = 10^{19} \text{ GeV}$ gelten

Standard-Modell — Erinnerung

Elektroschwache Wechselwirkung wird beschrieben durch Eichgruppe $U(1) \times SU(2)$

beinhaltet masselose Eichbosonen

$$B \text{ und } W^1, W^2, W^3$$

mit Kopplungen g' und g_W

Erzeugung von Massen durch Higgsfeld $H = \begin{pmatrix} H^+ \\ H^0 \end{pmatrix}$, ein komplexwertiges Dublett mit Vakuumerwartungswert

$$H_{\text{vac}} = \frac{1}{\sqrt{2}} \begin{pmatrix} 0 \\ v \end{pmatrix} \quad \text{und} \quad v = \frac{1}{\sqrt{\lambda G_F}} \approx 246 \text{ GeV}$$

Meßbare Teilchen, Masse und ihre Kopplungen:

$$W^\pm \hat{=} \frac{1}{\sqrt{2}} (W^1 \mp i W^2) ; m_W = g_W \cdot \frac{v}{2} ; g_W = e / \sin \theta_W$$

$$Z \hat{=} W^3 \cos \theta_W - B \sin \theta_W ; m_Z = m_W / \cos \theta_W ; g_Z = e / \sin \theta_W \cdot \cos \theta_W$$

$$\gamma \hat{=} W^3 \sin \theta_W + B \cos \theta_W ; m_\gamma = 0 ; g_e = e = \sqrt{4 \pi \alpha_{\text{em}}}$$

$$H^0 ; m_{H^0} = ? ; g_H = m_f = g_f \cdot v / \sqrt{2} \quad \text{für Fermion } f$$

Beachte: Parameter $G_F, m_Z, \alpha_{\text{em}}$ genügen, um Standard-Modell (ohne Higgs) zu beschreiben

Zustand des Standard-Modells

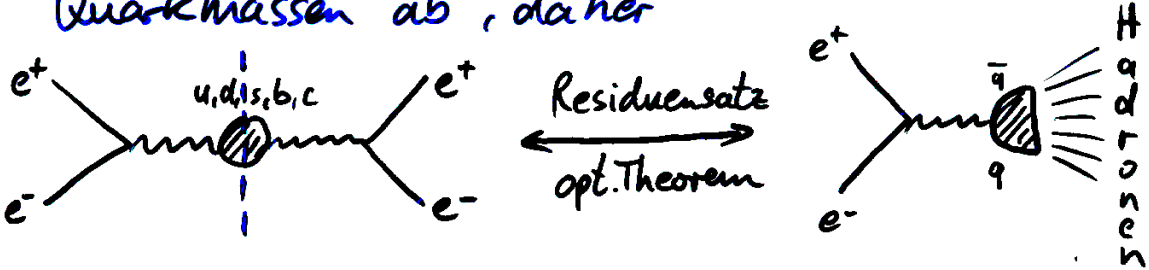
- Status quo: Alles in Übereinstimmung mit SM in Tests mit höchster Präzision
- Konsistenz direkter und indirekter m_W -Bestimmungen
 - ▷ indirekt aus G_F -Relation

$$m_W^2 = \frac{\pi \Lambda_{\text{em}}}{\sqrt{2} G_F \sin^2 \theta_W} \cdot \frac{1}{1 - \Delta r} \quad \text{und } \sin^2 \theta_W = 1 - \frac{m_W^2}{m_Z^2}$$

Born-Term Schleifenkorrekturen

▷ Schleifenkorrekturen

- QED: $\gamma \gamma \rightarrow \gamma \gamma$ = $\gamma \gamma + \gamma \gamma \text{Orr} + \gamma \gamma \text{Orr}$
hadronischer Beitrag hängt von schlecht bekannten Quarkmassen ab, daher



- elektroschwach: $w^+ \bar{w} w^+ \bar{w} \xrightarrow{H} w^+ \bar{w} w^+ \bar{w} \xrightarrow{H} w^+ \bar{w} w^+ \bar{w}$
top-Quarkmasse und Higgs-Bosonmasse liefern relevante Korrekturen

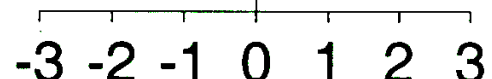
⇒ Vergleich: $m_W^{\text{direkt}} \leftrightarrow m_W^{\text{indirekt}}$ testet Schleifenkorrekturen
außerdem: Informationen über Higgs-Bosonmasse

Resultate des

MORIONA 2000

S.M.-Fits

	Measurement	Pull	Pull
		-3 -2 -1 0 1 2 3	
m_Z [GeV]	91.1871 ± 0.0021	.07	0
Γ_Z [GeV]	2.4944 ± 0.0024	-.62	0
σ_{had}^0 [nb]	41.544 ± 0.037	1.72	1.2
R_e	20.768 ± 0.024	1.19	1.1
$A_{fb}^{0,e}$	0.01701 ± 0.00095	.70	0.9
A_e	0.1483 ± 0.0051	.13	0.1
A_τ	0.1425 ± 0.0044	-1.16	-1.2
$\sin^2 \theta_{\text{eff}}^{\text{lept}}$	0.2321 ± 0.0010	.65	0.9
m_W [GeV]	80.401 ± 0.048	.15	0.1
R_b	0.21642 ± 0.00073	.85	1.0
R_c	0.1674 ± 0.0038	-1.27	-1.3
$A_{fb}^{0,b}$	0.0988 ± 0.0020	-2.34	-2.4
$A_{fb}^{0,c}$	0.0692 ± 0.0037	-1.29	-1.3
A_b	0.911 ± 0.025	-.95	-1.0
A_c	0.630 ± 0.026	-1.47	-1.5
$\sin^2 \theta_{\text{eff}}^{\text{lept}}$	0.23096 ± 0.00026	-1.87	-2.0
$\sin^2 \theta_W$	0.2255 ± 0.0021	1.17	1.2
m_W [GeV]	80.448 ± 0.062	.88	0.9
m_t [GeV]	174.3 ± 5.1	.11	0.1
$\Delta \alpha_{\text{had}}^{(5)}(m_Z)$	0.02804 ± 0.00065	-.20	0.1

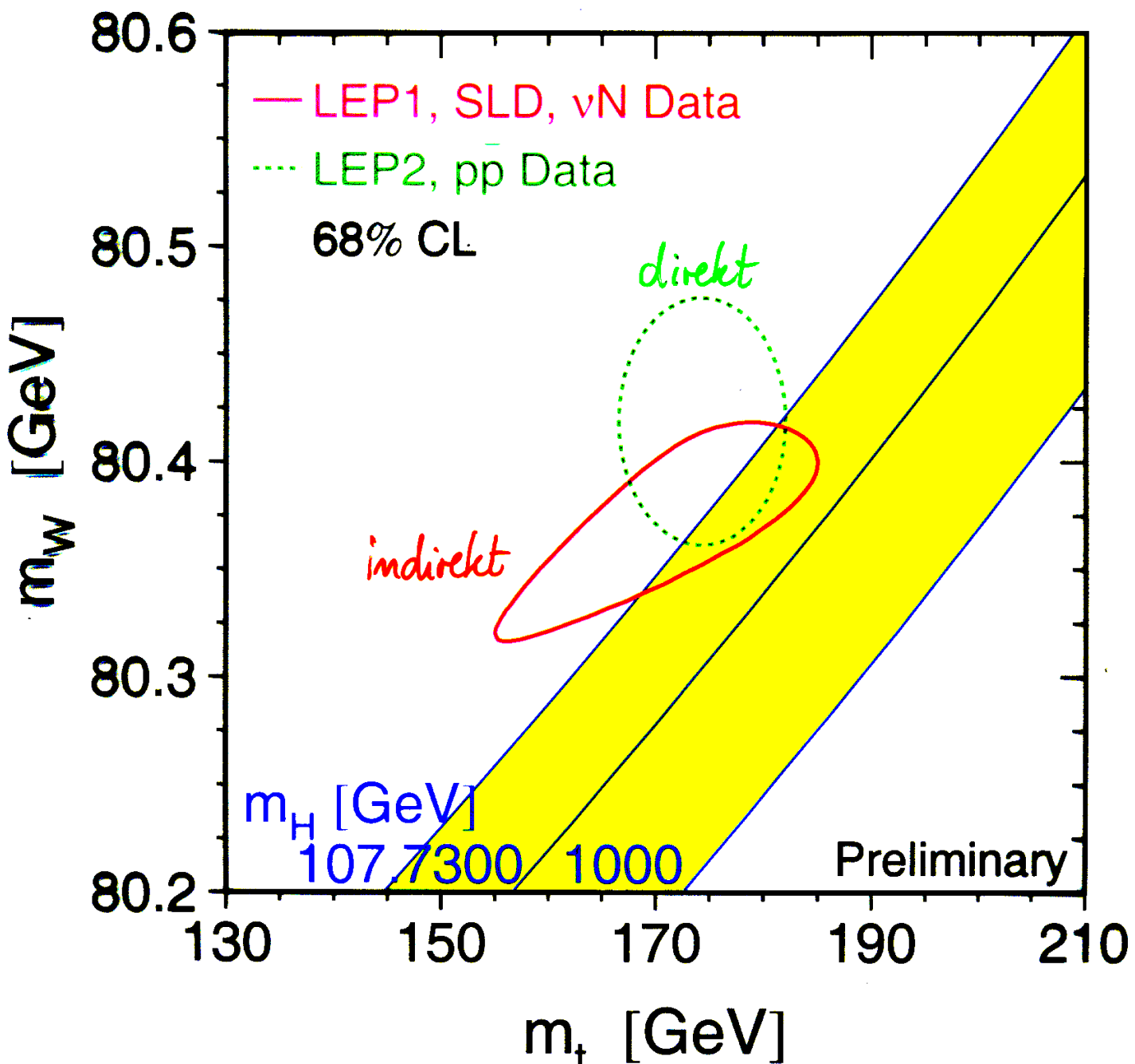


$$\text{Pull} = \frac{\text{Messung} - \text{Theorie}}{\text{Meßfehler}}$$



Vergleich: indirekte \leftrightarrow direkte m_W, m_{top}

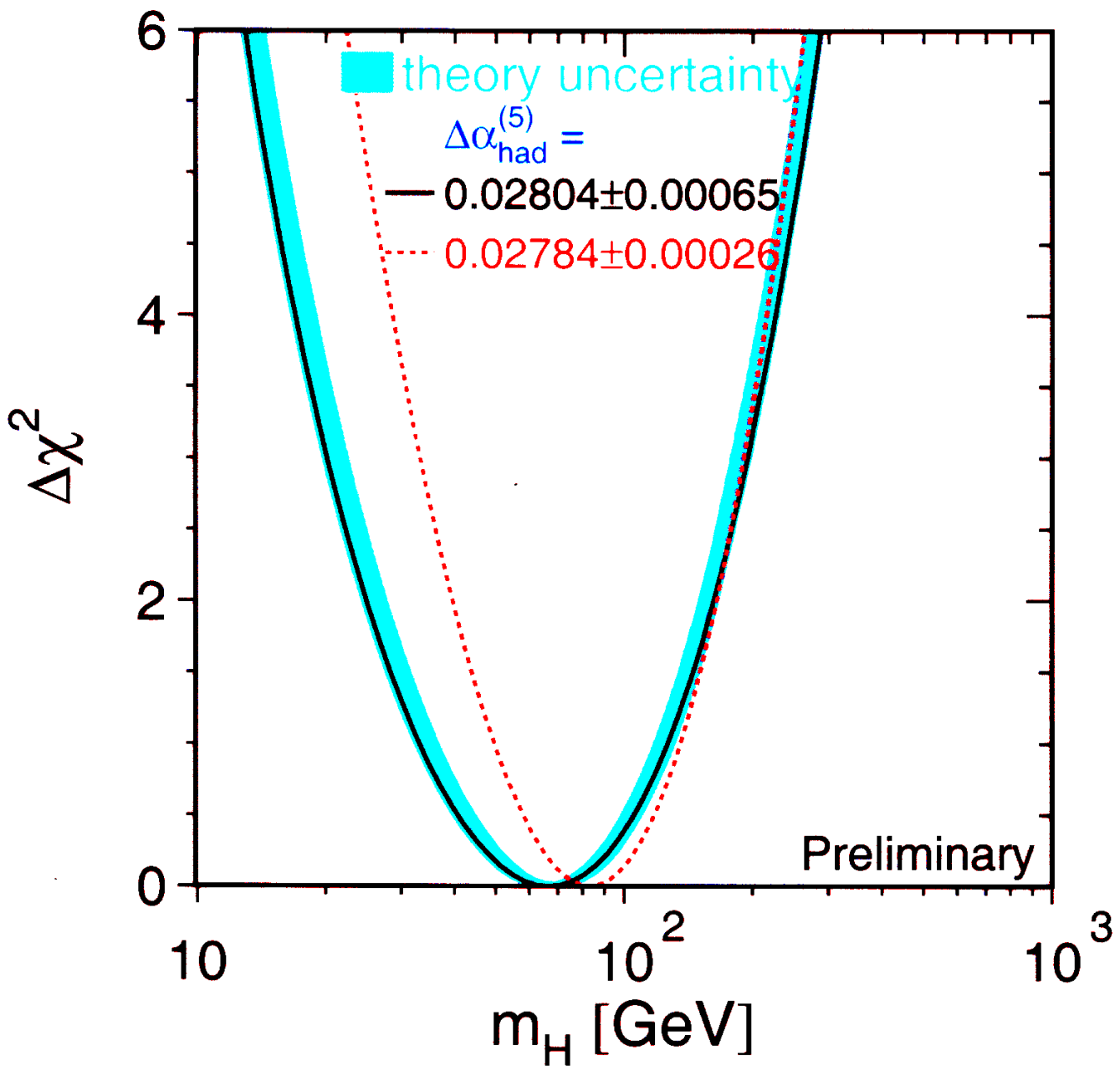
[GeV/c ²]	indirekt	direkt
m_W	80.366 ± 0.035	80.419 ± 0.038
m_{top}	167 ± 11	174.3 ± 5.1



\Rightarrow Konsistenz!

Higgs-Boson-Masse aus indirekten Messungen

insbesondere m_W und $\sin^2 \theta_W$ sensitiv auf m_H



$$\Rightarrow \text{Anpassung ergibt: } m_H = 77 \pm \frac{63}{39} \text{ GeV}/c^2$$

\Rightarrow Massengrenze :

$$m_H < 215 \text{ GeV}/c^2 \text{ (95% CL)}$$

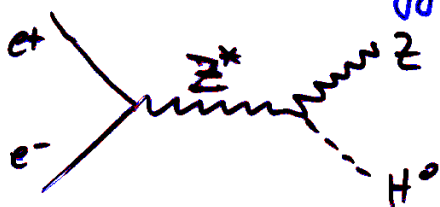
Wenn el-schw. Theorie gilt, muß Higgs-Boson leicht sein!

→ direkte Higgs-Suche bei LEP II

Higgs - Produktion im e^+e^- -Vernichtung

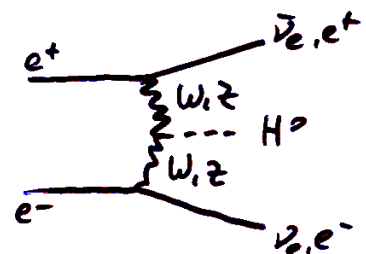
SM-Higgs:

- dominant durch Higgs-Strahlung produziert

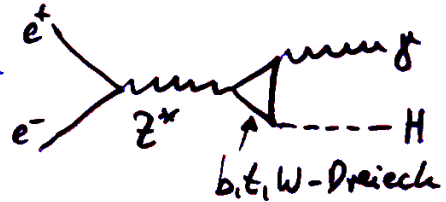


hat kinematische Grenze bei $m_H \approx \sqrt{s} - m_Z$

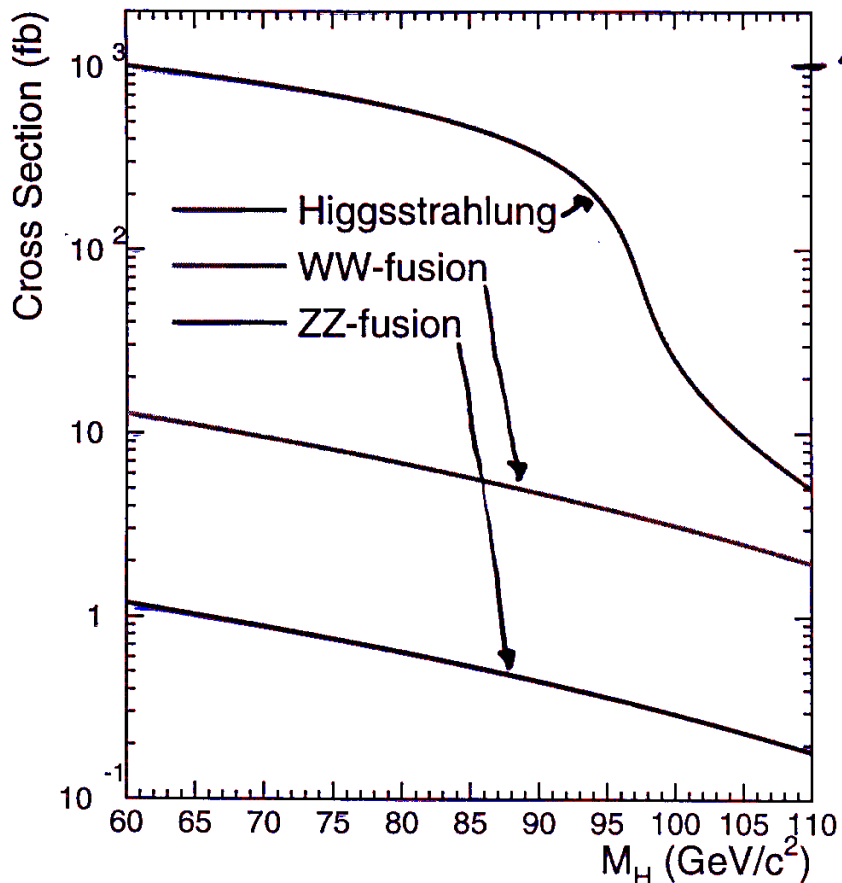
- kleinere Beiträge durch WW- und ZZ-Fusion ohne kinemat. Grenze



- kleinere Beiträge durch Hy-Produktion



⇒ z.B. für $\sqrt{s} = 200 \text{ GeV}$



Eigenschaften des Higgs-Bosons

- SM-Higgs: partielle Zerfallsbreite

$$\Gamma(H \rightarrow f\bar{f}) = \frac{G_F}{4\pi \sqrt{2}} \cdot m_f^2(m_H) \cdot m_H \cdot N_c \cdot (1 + S_{QCD})$$

↑ Farbfaktor $\begin{cases} = 1 \text{ Leptonen} \\ = 3 \text{ Quarks} \end{cases}$

$m_f(m_H)$ ist die Fermionmasse bei m_H -Energieskala

z.B. $m_\tau = 1.78 \text{ GeV}$

$m_c(m_H) \approx 0.6 \text{ GeV}$

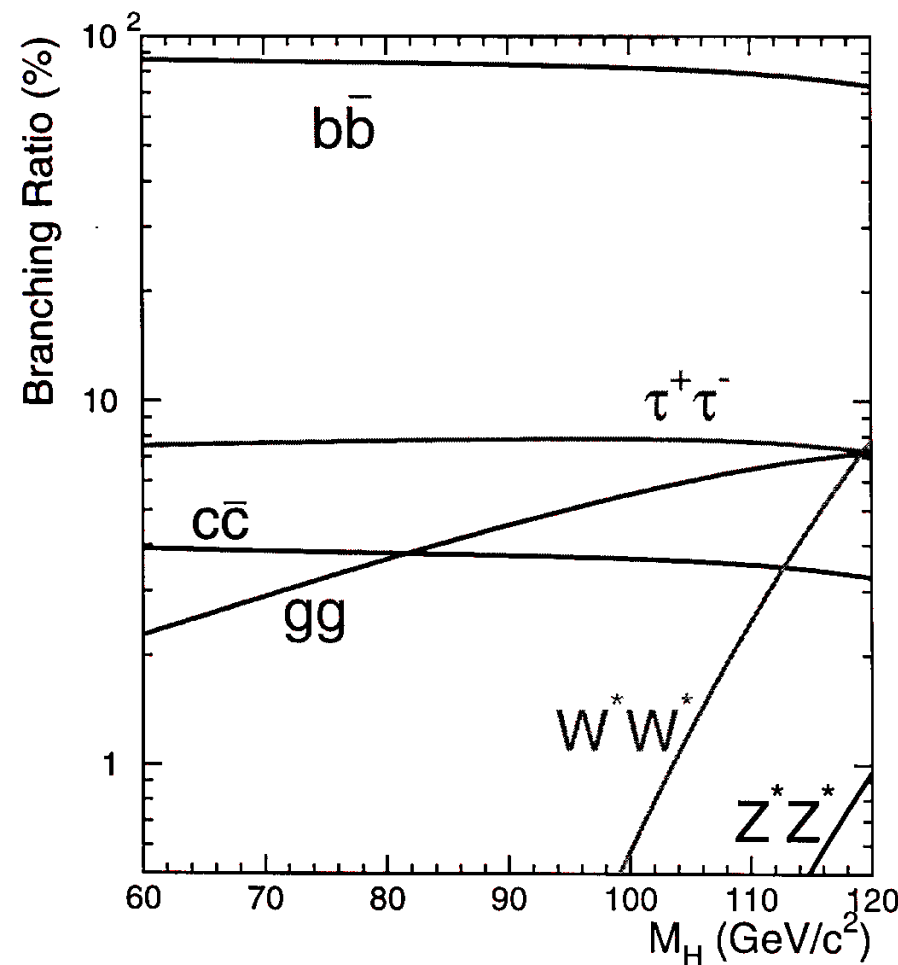
$m_b(m_H) \approx 2.9 \text{ GeV}$

} "laufende Quarkmassen"
(folgt später)

⇒ Verzweigungsverhältnisse

dominante Zerfälle: $\mathcal{B}(H \rightarrow b\bar{b}) \approx 85\%$

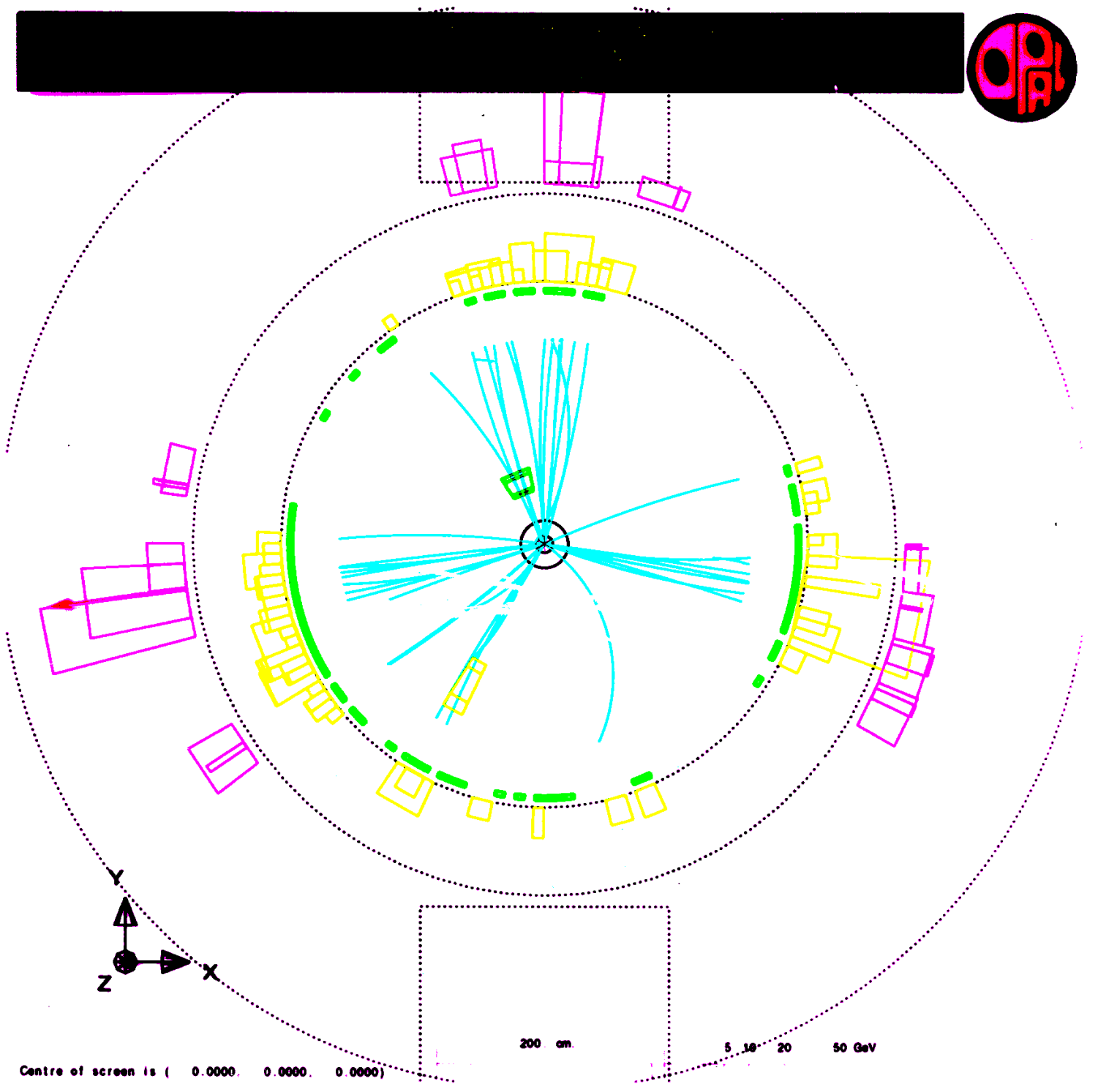
$\mathcal{B}(H \rightarrow \tau^+\tau^-) = 8\%$

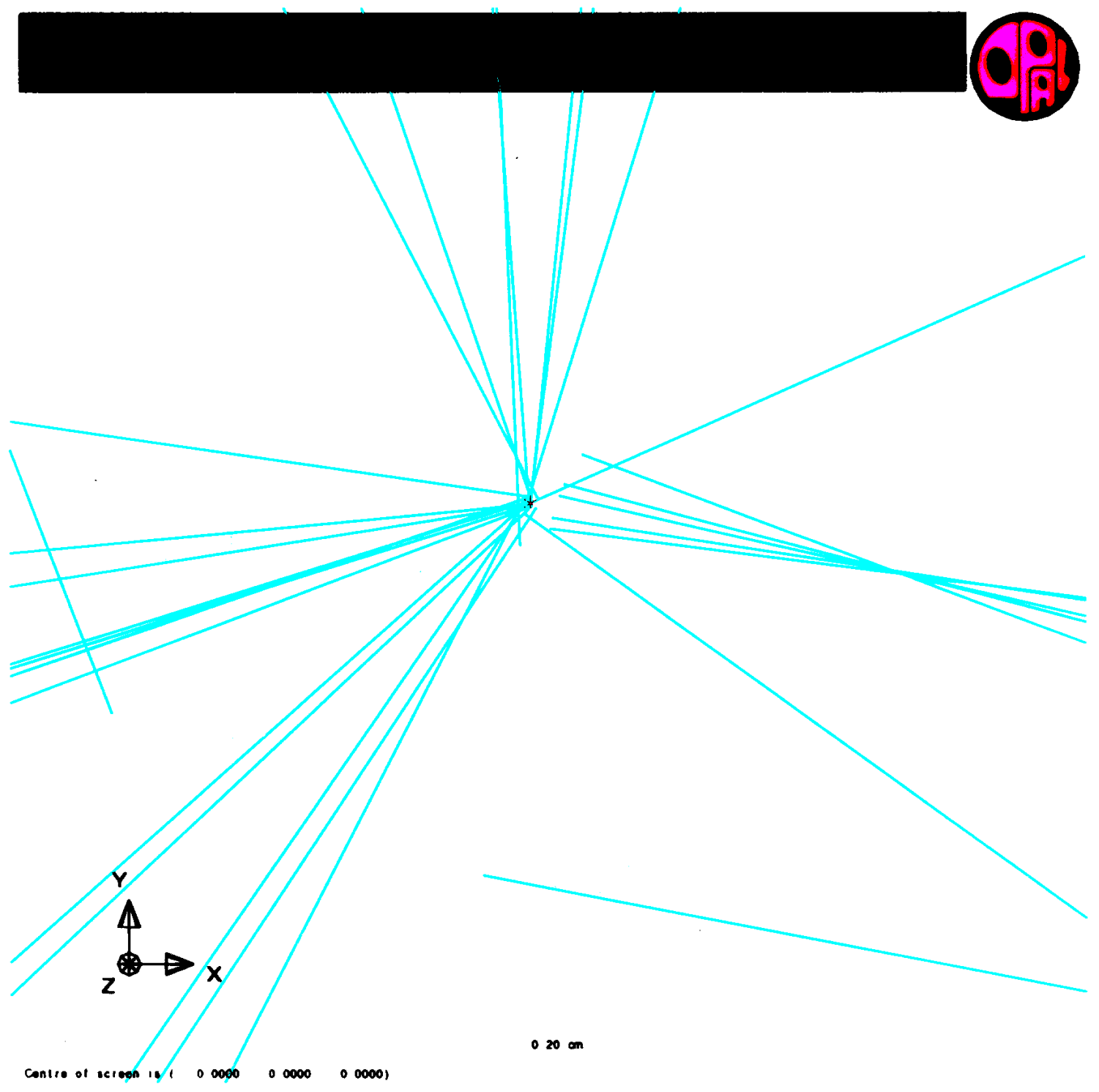


- totale Breite

$$\Gamma_H \approx 8(10 \text{ MeV})$$

für $m_H \approx 100 \text{ GeV}$





Centre of screen is (-0.0000 0.0000 0.0000)

0.20 cm

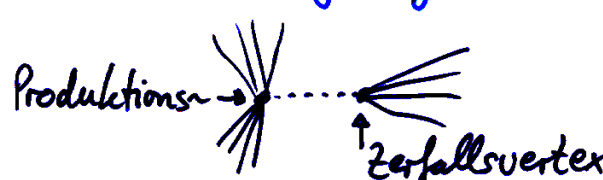
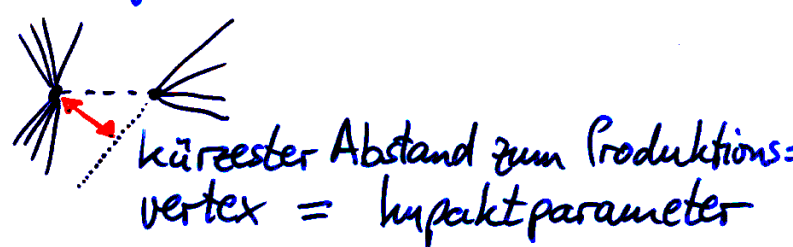
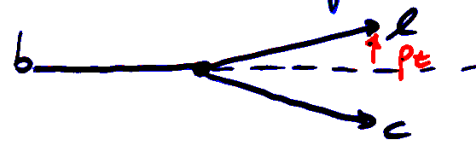
Higgs-Suche: Topologien bei LEP

$HZ \rightarrow b\bar{b}q\bar{q}$, $b\bar{b}l^+l^-$, $b\bar{b}\nu\bar{\nu}$ und $b\bar{b}\tau^+\tau^- | \tau^+\tau^- q\bar{q}$
 $(l=e,\mu)$

$BR = 61\%, 6\%, 17\%$ und 8%

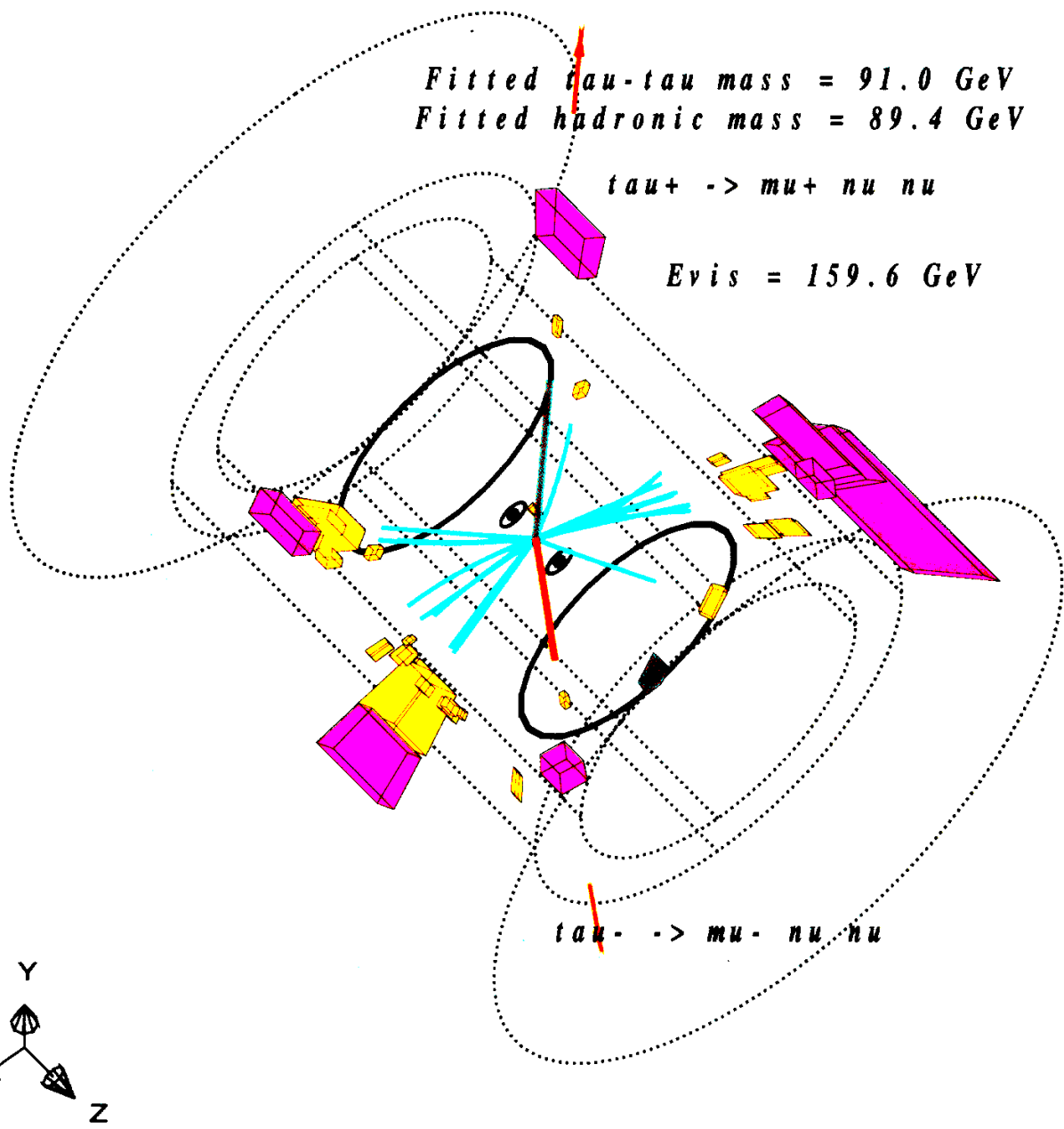
- $Z \rightarrow q\bar{q}$
 - ▷ 4-Jets
 - ▷ Energie- & Impulserhaltung
 - ▷ 2 b-Quarkjets gegenüber 2-Jetsystem mit Z-Masse
 $(\rightarrow$ kinemat. Fit $)$
 - ▷ Effizienz 30-40%, $BR \approx 61\%$
- $Z \rightarrow \nu\bar{\nu}$
 - ▷ Fehlende Energie
 - ▷ 2 b-Quarkjets gegenüber Rückstoßmasse von m_Z
 - ▷ Effizienz 30-40%, $BR \approx 17\%$
- $Z \rightarrow l^+l^-, l=e,\mu$
 - ▷ 2 energiereiche Leptonen mit Masse von m_Z gegenüber 2-Jetsystem
 - ▷ klarer Kanal mit 50-60% Effizienz, $BR \approx 6\%$
- $Z \rightarrow \tau^+\tau^- | q\bar{q}$
 - ▷ 2 τ -Jets gegenüber 2-Jetsystem
 - ▷ eines der 2-Jetsysteme mit Masse von m_Z
 - ▷ Effizienz $\approx 30\%$, $BR \approx 8\%$

b-jet - Identification

- ... wichtig, um Higgs-Boson im LEP zugänglichen Massenbereich zu identifizieren
Erheblicher Aufwand für b-jet-Identification betrieben:
- Sekundärvertices: b-Hadronlebensdauer $\approx 1.5 \text{ ps}$
 \rightarrow Fluglängen von mehreren Millimeter
 
 Außerdem: hohe Masse des Vertex
- Impaktparameter: Teilchenspuren aus zerfallen extrapolieren nicht auf Produktionsvertex zurück
 
- Zerfallslepton mit hohem Transversalimpuls p_T zur Jetachse
 Zerfall: $b \rightarrow c l \nu$, $l = e, \mu$ erhält Lepton großen Transversalimpuls
 
 aufgrund der Massendiff. von b- und c-Quark
- Fragmentation \rightarrow kinemat. Größen:
 z.B. Impulsspektrum der b-Zerfallsprodukte etwas zu geringen Impulsen verschoben wegen: $b \rightarrow c \rightarrow s$ Kaskade
 Alle Informationen in Neuronalen Netzen und Likelihood-Fits vereinigt \Rightarrow $\approx 50\%$ Effizienz bei $\leq 8\%$ Verunreinigung

Ein Higgs-Kandidat

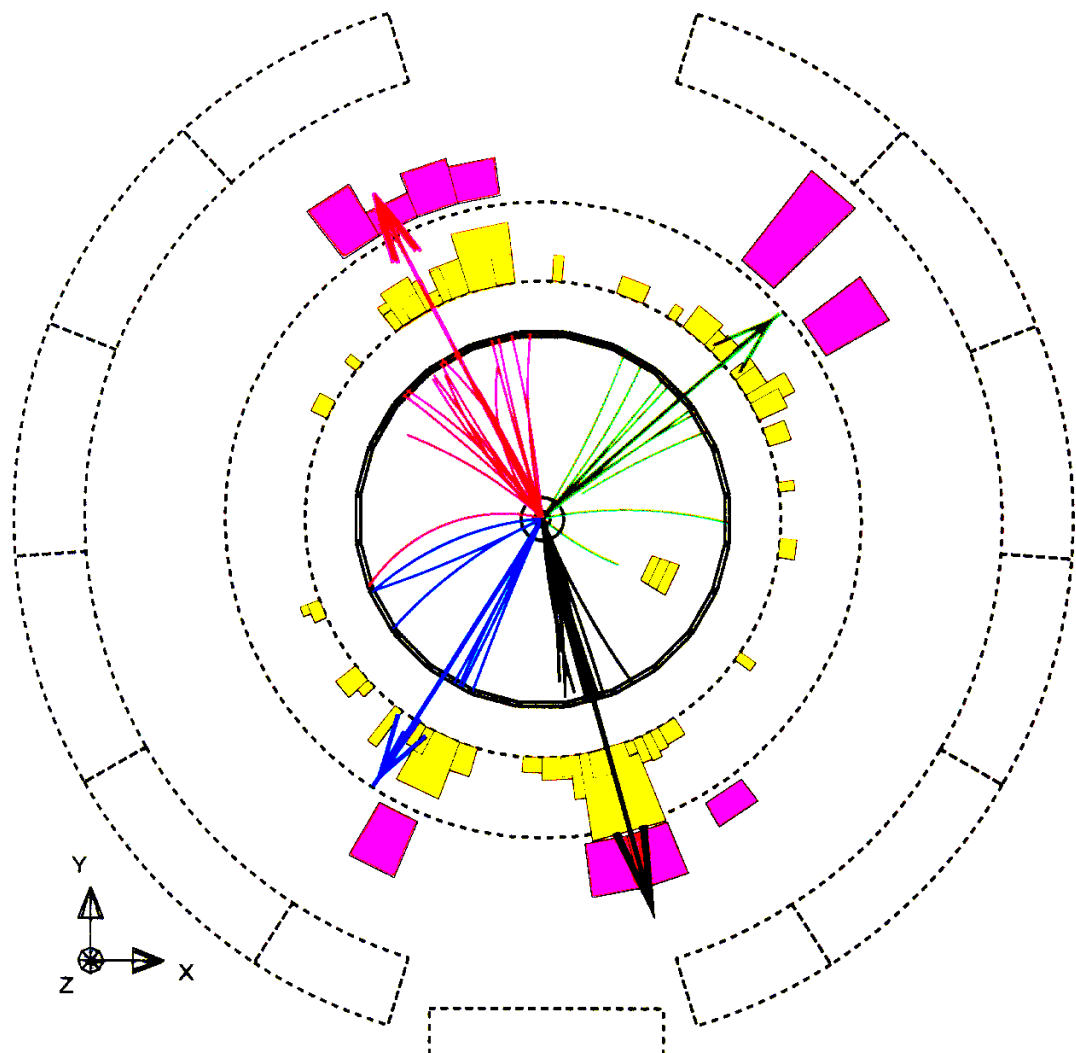
Run: event 10368: 36533 $Ctrk(N=34 \text{ Sum}E=120.8)$ $Ecal(N=45 \text{ Sum}E=48.6)$
 $Ebeam = 94.331 \text{ Vtx } (-0.03, -0.07, -0.15)$ $Hcal(N=25 \text{ Sum}E=39.8)$ $Muon(N=2)$



OPAL 4 Jet Candidate

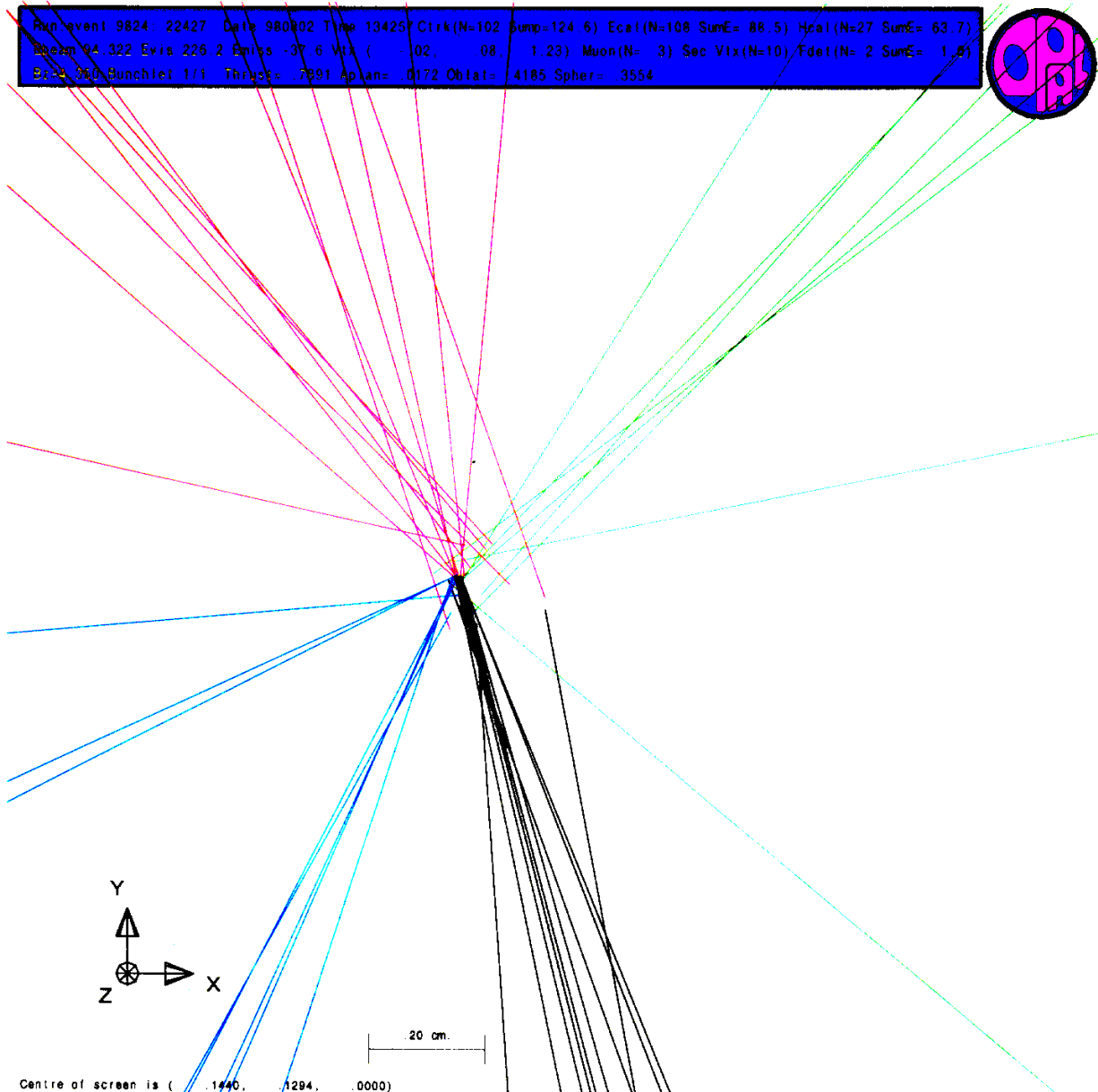
8

Run: event 9824; 23427 - C14K(N=102,Bias=10,-6) Ecal(N=108,SigE=88.6)
Ebeam 94.322 V(x (-,-,0), (-,0,0), (0,0,1)) Neut(N=7,SigE=63.7) Muon(N=3)



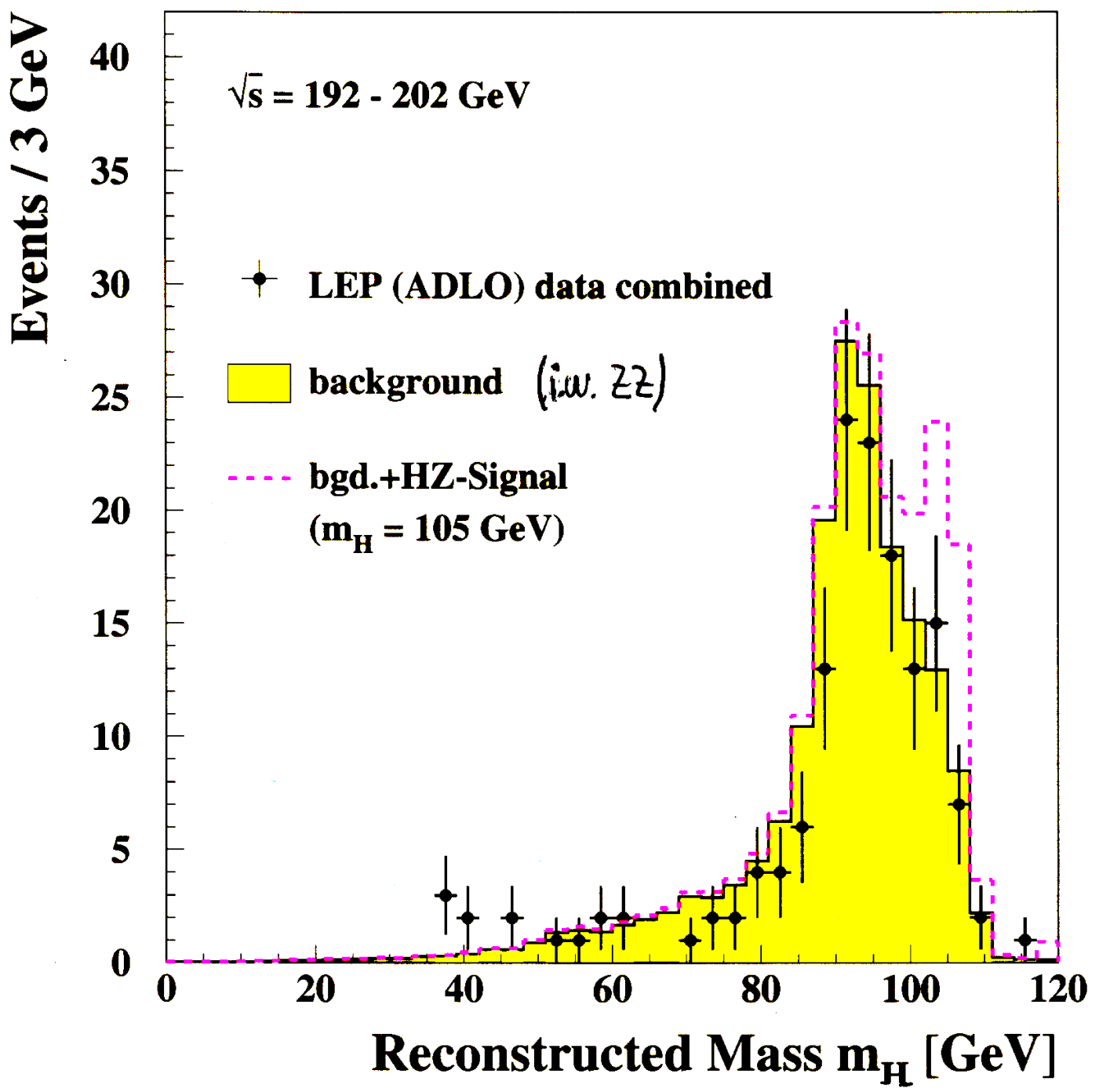
OPAL 4 Jet Candidate

9



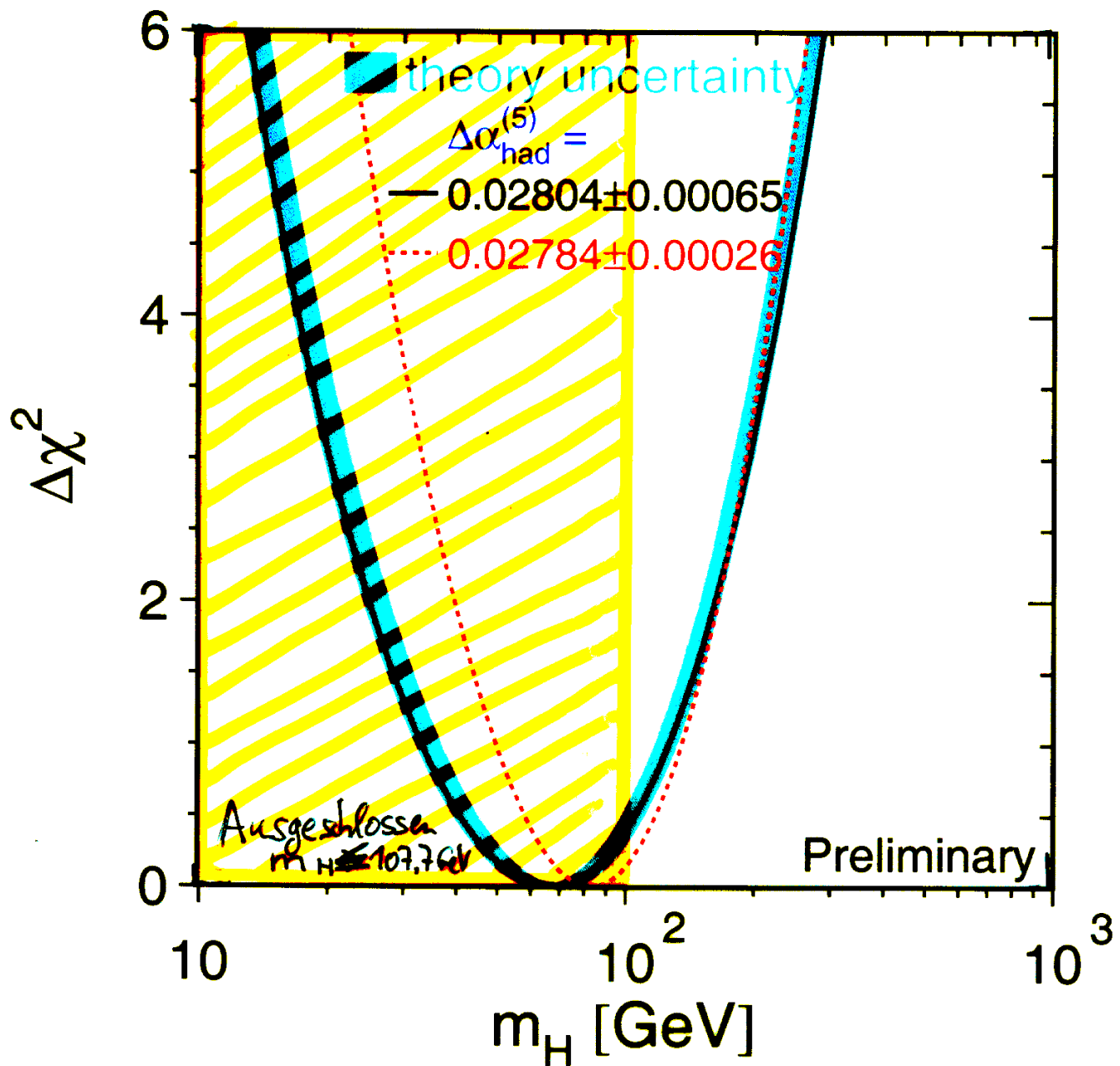
Higgs-Boson-Suche bei LEP II

- Massenbestimmung aus Jetenergien und -Winkel
 - Massenverteilung der H-Kandidaten:
beobachtetes Signal = erwarteter Untergrund
- Higgs-Massengrenze: $m_H > 107,7 \text{ GeV}/c^2$ (95% CL)



Higgs-Boson-Masse aus indirekten Messungen

insbesondere m_W und $\sin^2\theta_W$ sensitiv auf m_H



$$\Rightarrow \text{Anpassung ergibt: } m_H = 77 \pm \frac{63}{39} \text{ GeV/c}^2$$

\Rightarrow Massengrenze :

$$m_H < 215 \text{ GeV/c}^2 \quad (95\% \text{ CL})$$

Wenn el-schw. Theorie gilt, muß Higgs-Boson leicht sein!
→ direkte Higgs-Suche bei LEP II

Fazit

- Elektroschwache Theorie gilt eigentlich nur für masselose Fermionen und Eichbosonen;
- Massenterme brechen die $U(1) \times SU(2)$ -Symmetrie und machen die Theorie nicht-renomierbar
- Der Higgs-Mechanismus verbindet eine spontane Brüchung der $U(1) \times SU(2)$ -Symmetrie mit der Einführung einer $U(1) \times SU(2)$ -eichinvarianten Erzeugung von Massentermen
- Das Higgs-Feld füllt den Gesamt-Kosmos mit einem Vakuumfeld $v = \text{const} \neq 0$ ($v=246\text{GeV}$)
- Fermionen erhalten Masse durch ihre "potentielle Energie" im Higgs-Feld
- Die spontane Symmetriebrechung ca. 10^{-35}s nach dem Urknall könnte eine inflationäre Expansion des Universums verursacht haben und somit Anfangswertproblem vor Urknallmodellen lösen
- Das Higgs-Teilchen (skalar-) ist bisher nicht entdeckt
 $107,7\text{GeV}/c^2 < m_H < 215\text{GeV}/c^2$
(95% CL)